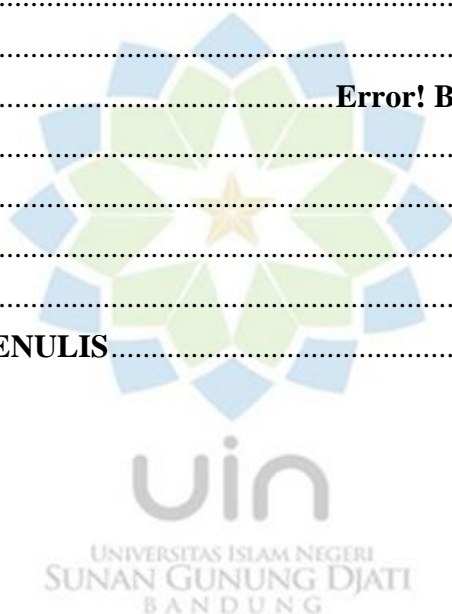


## DAFTAR ISI

|   |      |
|---|------|
| <b>ABSTRAK</b> .....  | i    |
| <b>ABSTRACT</b> .....   | ii   |
| <b>KATA PENGANTAR</b> .....   | iii  |
| <b>DAFTAR ISI</b> .....   | v    |
| <b>DAFTAR GAMBAR</b> .....  | vii  |
| <b>DAFTAR TABEL</b> .....   | ix   |
| <b>DAFTAR SINGKATAN DAN LAMBANG</b> .....   | xiii |
| <b>BAB I PENDAHULUAN</b> .....  | 1    |
| <b>1.1 Latar Belakang</b> .....   | 1    |
| <b>1.2 Rumusan Masalah</b> .....  | 4    |
| <b>1.3 Batasan Masalah</b> .....  | 5    |
| <b>1.4 Tujuan Penelitian</b> .....  | 5    |
| <b>1.5 Manfaat Penelitian</b> .....   | 6    |
| <b>BAB II TINJAUAN PUSTAKA</b> .....  | 7    |
| <b>2.1 Kimia Komputasi</b> .....  | 7    |
| <b>2.2 Perhitungan Frekuensi <i>Output</i> Termokimia Dalam <i>Gaussian</i></b> ..... | 8    |
| 2.2.1 Output Dari Model Senyawa Kimia.....  | 12   |
| 2.2.2 Nilai Termokimia Perhitungan.....   | 12   |
| 2.2.3 Reaksi Entalpi dan Energi Bebas .....   | 13   |
| <b>2.3 Pemodelan Molekul</b> .....  | 14   |
| <b>2.4 Metode Mekanika Molekuler</b> .....  | 15   |
| <b>2.5 Metode Semiempirik Kuantum</b> .....   | 16   |
| <b>2.6 Konfigurasi Spesifik Stereokimia R dan S</b> .....                             | 17   |
| <b>2.7 Produksi Asam Lambung</b> .....  | 18   |
| <b>2.8 Proton Pump Inhibitor (PPI)</b> .....  | 18   |
| <b>2.9 Siklodekstrin</b> .....  | 20   |
| 2.9.1 Heptakis (2,6-Di- <i>O</i> -Metil) $\beta$ -Siklodekstrin (DIMEB) .....         | 20   |
| 2.9.2 (2- <i>O</i> -Metil) $\beta$ -Siklodekstrin (CRYSMEB) .....                     | 21   |
| <b>BAB III METODE PENELITIAN</b> .....  | 23   |
| <b>3.1 Waktu dan Tempat Penelitian</b> .....  | 23   |
| <b>3.2 Bahan, Alat, dan Instrumentasi</b> .....                                       | 23   |
| <b>3.3 Prosedur</b> .....   | 25   |

|               |  |                                     |
|---------------|--|-------------------------------------|
| <b>BAB IV</b> | <b>HASIL PENELITIAN DAN PEMBAHASAN</b>   | 28                                  |
| 4.1           | Metode Mekanika Molekuler <i>Docking</i> dan Energi Ikat dari $\beta$ -Siklodekstrin Terpermetilasi (CRYSMEB dan DIMEB) dengan (R/S) PPI | 28                                  |
| 4.2           | Struktur Geometri dan Kompleks Inklusi $\beta$ -Siklodekstrin Terpermetilasi pada PPI Teroptimasi Metode Semiempirik PM3                 | 33                                  |
| 4.3           | Perhitungan Parameter Termodinamika Inklusi Kompleks Teroptimasi Metode Semiempirik PM3  | 37                                  |
| <b>BAB V</b>  | <b>KESIMPULAN DAN SARAN</b>  | 44                                  |
| 5.1           | Kesimpulan   | 44                                  |
| 5.2           | Saran  | 45                                  |
|               | <b>DAFTAR PUSTAKA</b>  | 46                                  |
|               | <b>SUBJEK INDEKS</b>   | 49                                  |
|               | <b>LAMPIRAN A</b>  | <b>Error! Bookmark not defined.</b> |
|               | <b>LAMPIRAN B</b>  | 50                                  |
|               | <b>LAMPIRAN C</b>  | 59                                  |
|               | <b>LAMPIRAN D</b>  | 63                                  |
|               | <b>LAMPIRAN E</b>  | 67                                  |
|               | <b>RIWAYAT HIDUP PENULIS</b>   | 69                                  |



## DAFTAR GAMBAR

|   |    |
|---|----|
| <b>Gambar II.1</b> Konfigurasi pada pusat kiral R dan S [25] .....  | 18 |
| <b>Gambar II.2</b> Struktur 2-piridilmetilsulfinilbenzimidazol <i>Proton Pump Inhibitor</i> dalam keadaan pKa1 dan pKa2 dan gugus fungsinya [32]......  | 20 |
| <b>Gambar II.3</b> Struktur heptakis (2,6-di- <i>O</i> -metil)- $\beta$ -CD (DIMEB) [32] .....  | 21 |
| <b>Gambar II.4</b> Struktur (2- <i>O</i> -metil)- $\beta$ -CD (CRYSMEB).....  | 22 |
| <b>Gambar III.1</b> Gambaran umum metode penelitian .....   | 23 |
| <b>Gambar III.2</b> Struktur molekul $\beta$ -siklodekstrin terpermetilasi.....   | 24 |
| <b>Gambar III.3</b> Struktur 3D (a) enantiomer R-PPI (b) enantiomer S-PPI .....   | 26 |
| <b>Gambar III.4</b> Struktur 3D (a) CRYSMEB (b) DIMEB .....   | 26 |
| <b>Gambar III.5</b> Diagram alir metode penelitian.....   | 27 |
| <b>Gambar IV.1</b> Grafik perbandingan energi pada enantiomer Lansoprazol .....   | 30 |
| <b>Gambar IV.2</b> Grafik perbandingan energi pada enantiomer Omeprazol .....   | 30 |
| <b>Gambar IV.3</b> Grafik perbandingan energi pada enantiomer Pantoprazol .....   | 31 |
| <b>Gambar IV.4</b> Grafik perbandingan energi pada enantiomer Rabeprazol.....   | 32 |
| <b>Gambar IV.5</b> (a) Struktur optimasi senyawa <i>host</i> CRYSMEB (b) Struktur optimasi senyawa <i>host</i> DIMEB.....   | 33 |
| <b>Gambar IV.6</b> Struktur (a) Lansoprazol (b) Omeprazol (c) Pantoprazol (d) Rabeprazol.....   | 34 |
| <b>Gambar IV.7</b> Struktur optimasi senyawa kompleks (a) CRYSMEB/R-Lnp (b) CRYSMEB/R-Omp (c) CRYSMEB/R-Pnp (d) CRYSMEB/R-Rbp (e) CRYSMEB/S-Lnp (f) CRYSMEB/S-Omp (g) CRYSMEB/S-Pnp (h) CRYSMEB/S-Rbp ..... | 35 |
| <b>Gambar IV.8</b> Struktur optimasi senyawa kompleks (a) DIMEB/R-Lnp (b) DIMEB/R-Omp (c) DIMEB/R-Pnp (d) DIMEB/R-Rbp (e) DIMEB/S-Lnp (f) DIMEB/S-Omp (g) DIMEB/S-Pnp (h) DIMEB/S-Rbp.....                  | 36 |
| <b>Gambar IV.9</b> Grafik energi ikat, entalpi, energi bebas Gibbs, dan entropi pada Lansoprazol .....  | 38 |
| <b>Gambar IV.10</b> Grafik energi ikat, entalpi, energi bebas Gibbs, dan entropi pada Omeprazol.....  | 40 |

**Gambar IV.11** Grafik energi ikat, entalpi, energi bebas Gibbs, dan entropi pada Pantoprazol..... 41

**Gambar IV.12** Grafik energi ikat, entalpi, energi bebas Gibbs, dan entropi pada Rabeprazol..... 43



## DAFTAR TABEL

|   |    |
|---|----|
| <b>Tabel II.1</b> Data nilai termokimia Gaussian $C_2H_5 + H_2 \rightarrow C_2H_6 + H$                                | 13 |
| <b>Tabel III.1</b> Struktur molekul senyawa PPI   | 24 |
| <b>Tabel III.2</b> Struktur molekul $\beta$ -siklodekstrin terpermetilasi   | 24 |
| <b>Tabel IV.1</b> Nilai energi ikat bebas hasil <i>docking</i> Autodock 4.2.6 pada 298 K dalam satuan energi kkal/mol | 29 |
| <b>Tabel IV.2</b> Parameter termodinamika semiempirik PM3 Lansoprazol   | 37 |
| <b>Tabel IV.3</b> Parameter termodinamika semiempirik PM3 Omeprazol   | 39 |
| <b>Tabel IV.4</b> Parameter termodinamika semiempirik PM3 Pantoprazol   | 40 |
| <b>Tabel IV.5</b> Parameter termodinamika semiempirik PM3 Rabeprazol  | 42 |



## DAFTAR ISTILAH

| Istilah                                    | Arti / Maksud   |
|--|---|
| $\epsilon_0$                               | Total energi elektronik   |
| $\epsilon_{ZPE}$                           | Energi titik nol dari molekul   |
| Autogrid                                   | Program yang menghitung kisi-kisi peta energi interaksi untuk berbagai jenis atom, seperti karbon alifatik, karbon aromatik, oksigen ikatan hidrogen dan sebagainya dengan makromolekul seperti protein, DNA, dan RNA |
| CE ( <i>Capillary Electrophoresis</i> )    | Merupakan suatu metode analisis kimia yang bertujuan untuk memisahkan berdasarkan perbedaan dalam mobilitas elektroforesis  |
| CS ( <i>Chiral Selector</i> )              | Fasa diam yang didesain untuk memisahkan senyawa enansiomer pada <i>Capillary Electrophoresis</i>   |
| CSD ( <i>Camride Structural Database</i> ) | Sumber database bentuk struktur senyawa kimia   |
| CSP ( <i>Chiral Stationary Phase</i> )     | Fasa diam yang didesain untuk memisahkan senyawa enansiomer pada HPLC   |
| $C_{tot}$                                  | Total kapasitas panas ( $C_t + C_r + C_v + C_e$ )   |
| $C_v$                                      | Kontribusi kapasitas panas karena energi internal   |
| <i>Docking</i>                             | Salah satu metode yang dapat memprediksi interaksi antar molekul, dapat berupa protein termasuk enzim, DNA, karbohidrat, lemak terhadap substrat atau spesies kimia yang diamati.                                     |
| Enantiomer                                 | Enantiomer adalah pasangan stereoisomer yang merupakan refleksi cermin dan tidak bertindih  |
| Enzim $H^+/K^+$ -ATPase                    | Enzim yang bertugas meregulasi <i>proton pump</i> dalam perut   |
| $E_{tot}$                                  | Total energi internal ( $E_t + E_r + E_v + E_e$ )   |

|                   |   |
|-------------------|---|
| $G_{\text{corr}}$ | Koreksi terhadap energi bebas Gibbs karena energi internal  |
| <i>Guest</i>      | Senyawa tamu, dalam kompleks inklusi merupakan senyawa yang lebih kecil yang diselubungi oleh senyawa <i>host</i>   |
| $H_{\text{corr}}$ | koreksi terhadap entalpi karena energi internal   |
| <i>Host</i>       | Senyawa rumah, dalam kompleks inklusi merupakan molekul yang menyelubungi molekul lain  |
| Inhibitor         | Zat yang menghambat atau menurunkan laju reaksi kimia. Sifat inhibitor berlawanan dengan katalis, yang mempercepat laju reaksi  |
| Inklusi           | Upaya pengeluaran atau pencegahan timbulnya suatu respon tertentu karena adanya proses respon lain yang sedang berlangsung  |
| $k_B$             | Konstanta boltzmann = $1,380662 \times 10^{-23}$ J/K  |
| $N$               | Jumlah mol  |
| ONIOM             | Pendekatan komputasi dengan metode hibrid yang menyatakan beragam level teori dalam perhitungannya namun diterapkan pada atom-atom dan subunit yang berbeda dalam molekul |
| Optimasi          | Suatu proses untuk mencapai hasil yang ideal  |
| <i>Output</i>     | Data yang telah diproses menjadi bentuk yang dapat digunakan  |
| $P$               | Tekanan (standar 1 atmosfer)  |
| Parameterisasi    | Representasi efek fisik dengan parameter disederhanakan dalam model komputer  |
| $pK_a$            | Derajat kelarutan asam yang digunakan sebagai ukuran kelarutan suatu asam (atau basa) dalam pelarut air dengan kondisi standar (1 atm dan 25 <sup>0</sup> C)              |

|                              |   |
|------------------------------|---|
| <i>Proton Pump Inhibitor</i> | Golongan senyawa obat yang berfungsi mengurangi pengeluaran asam lambung  |
| <i>R</i>                     | Konstanta gas = 8,31441 J=(mol K) = 1,987 kkal=(mol K)  |
| Rigid                        | Urutan prioritas gugus tersusun yang searah jarum jam disekitar pusat kiral   |
| <i>Run</i>                   | Proses perhitungan  |
| Semiempirik                  | Metode kimia komputasi menggunakan data eksperimental atau perhitungan <i>ab-initio</i> yang akurat yang digunakan untuk menyederhanakan perhitungan berdasarkan kimia kuantum <i>ab-initio</i> |
| Senyawa rasemat              | Senyawa yang mempunyai enantiomer R dan S   |
| Sinister                     | Urutan prioritas gugus tersusun yang berlawanan arah jarum jam disekitar pusat kiral  |
| $S_{tot}$                    | Entropi total ( $S_t + S_r + S_v + S_e$ )   |
| $T$                          | Suhu (standar 298.15K)  |
| $V$                          | Volume  |



## DAFTAR SINGKATAN DAN LAMBANG

| Singkatan / Lambang | Keterangan  |
|---------------------|---|
| BE                  | <i>Binding Energy</i>   |
| CE                  | <i>Capillary Electrophoresis</i>  |
| CRYSMEB             | <i>Crystal Methyl <math>\beta</math>-cyclodextrine</i>                        |
| CS                  | <i>Chiral Selector</i>  |
| CSD                 | <i>Cambridge Structural Database</i>  |
| CSP                 | <i>Chiral Stationary Phases</i>   |
| CSP                 | <i>Chiral Stationary Phase</i>  |
| DFT                 | <i>Density Functional Theory</i>  |
| DIMEB               | <i>Di Methyl <math>\beta</math>-cyclodextrine</i>                             |
| DNA                 | <i>Deoxyribo Nucleic Acid</i>   |
| HPLC                | <i>High Performance Liquid Chromatography</i>                                 |
| Lap                 | Lansoprazol   |
| MINDO               | <i>Modified Intermediate Neglect of Differential Overlap</i>                  |
| NMR                 | <i>Nuclear Magnetic Resonance</i>   |
| Omp                 | Omeprazol   |
| ONIOM               | <i>Our own N-Layered Integrated Molecular Orbital and molecular Mechanics</i> |
| Pap                 | Pantoprazol   |
| PM3                 | <i>Parameterization Method Three</i>  |
| PM6                 | <i>Parameterization Method 6</i>  |
| PPI                 | <i>Proton Pump Inhibitor</i>  |
| Rap                 | Rabeprazol  |

|             |  |
|-------------|--|
| TGA         | <i>Thermal Gravimetry Analysis</i>     |
| XRD         | <i>X-Ray Diffraction</i>               |
| $\beta$ -CD | <i><math>\beta</math>-Cyclodextrin</i> |
| $\Delta E$  | Energi ikat bebas                      |
| $\Delta G$  | Perubahan energi bebas Gibbs           |
| $\Delta H$  | Perubahan entalpi                      |
| $\Delta S$  | Perubahan entropi                      |

---

